

## **РАЗДЕЛ 4**

### **ИЗЛУЧЕНИЕ НЕСТАЦИОНАРНЫХ ЭЛЕКТРОМАГНИТНЫХ ПОЛЕЙ ИЗ ОТКРЫТОГО КОНЦА КОАКСИАЛЬНОГО ВОЛНОВОДА (ПРИБЛИЖЕНИЕ КИРХГОФА)**

Данный раздел посвящен решению задачи излучения нестационарных электромагнитных полей из открытого конца коаксиального волновода, возбуждаемого нестационарной ТЕМ-волной. В разделе 2 показано, что такая задача при помощи метода модового базиса сводится к решению однородных уравнений Клейна-Гордона с неоднородными начальными и граничными условиями. В данном разделе общие решения этих уравнений предлагается искать при помощи метода разделения переменных. Решение получено в приближении Кирхгофа, так как распределение поля на раскрыве взято таким же, как и в поперечном сечении бесконечного волновода. Проведено сравнение полученных теоретических результатов с экспериментальными данными. Основные результаты данного раздела изложены в статьях [126, 127], дополнительно освещены в статье [128] и докладывались на международных конференциях [129, 130].

#### **4.1. Решение уравнения Клейна-Гордона методом разделения переменных**

Под нахождением общего решения дифференциального уравнения в частных производных методом разделения переменных будем понимать не только представление решения в виде произведения функций, каждая из которых зависит только от одной переменной, но и проведение специальной замены переменных, при которой новое уравнение будет иметь решения с разделяющимися переменными. Причем методы теории групп позволяют для конкретного уравнения не только найти такие подстановки, но и доказать их

единственность. Такое исследование уравнения Клейна-Гордона было проведено в работе [107]. Всего найдено десять вариантов подстановок, при которых переменные разделяются. В работе [131] приводятся все варианты замен переменных одномерного уравнения Клейна-Гордона с подробным их анализом с точки зрения покрытия решениями конуса Минковского. Это вызвано тем, что не все подстановки приводят к решениям, существующим для всех необходимых  $z$  и  $t$ .

Первый вариант подстановки дает обычное решение, эквивалентное применению преобразования Фурье по координате и времени. Так как мы ищем решение не в частотной, а во временной области, такая замена переменных для нас неприемлема.

Второй вариант замены переменных имеет вид

$$ct = u \operatorname{ch} v, \quad z = u \operatorname{sh} v,$$

причем  $0 \leq u < \infty$ ,  $-\infty < v < \infty$ .

Положим для удобства, что  $z \geq 0$ , тогда  $u = \sqrt{c^2 t^2 - z^2}$ ,  $v = \frac{1}{2} \ln \left( \frac{ct + z}{ct - z} \right)$ , при  $z \leq ct$ . Отсюда следует, что общее решение уравнения (2.33) при  $\varepsilon = \mu = 1$  есть бесконечная сумма, каждое из слагаемых которой имеет вид

$$\begin{aligned} h^v(z, t; \chi) = & \left( \frac{ct - z}{ct + z} \right)^{\frac{v}{2}} \left\{ A_v^+ J_v \left( \chi \sqrt{c^2 t^2 - z^2} \right) + B_v^+ N_v \left( \chi \sqrt{c^2 t^2 - z^2} \right) \right\} + \\ & + \left( \frac{ct + z}{ct - z} \right)^{\frac{v}{2}} \left\{ A_v^- J_v \left( \chi \sqrt{c^2 t^2 - z^2} \right) + B_v^- N_v \left( \chi \sqrt{c^2 t^2 - z^2} \right) \right\}, \end{aligned} \quad (4.1)$$

где  $v$  – индекс суммирования, представляющий собой любое число (целое, вещественное, комплексное),  $N_v(\cdot)$  – функция Неймана. Данное решение уравнения Клейна-Гордона уже было использовано в волноводной задаче [132].

Остальные варианты замен переменных дают решения, представляющие собой произведения функций параболического цилиндра, функций Матье, Бесселя, Эйри, полиномов Эрмита, причем в двух случаях решения существуют не для всех необходимых  $z$  и  $t$ . В отличие от волноводных задач, в задачах излучения использование той или иной замены переменных усложняется необходимостью вычислять несобственный интеграл, содержащий произведение решения уравнения Клейна-Гордона и функции Бесселя. Поэтому самым перспективным для наших задач является второй вариант замены переменных, так как решение (4.1) предоставляет довольно большую свободу выбора функциональной зависимости источника от координат и времени.

#### **4.2. Излучение плоского источника с произвольным пространственным распределением нестационарного поля**

Пусть на плоскости  $z=0$  расположен источник стороннего поля, имеющий произвольную временную зависимость. Подобно тому, как в подразделе 3.2 сторонние ток и заряд были разложены по модам свободного пространства, причем переменные  $j_m(z, t; \chi)$  и  $\rho_n(z, t; \xi)$  отражают вклад источников в возбуждение соответствующих мод, мы можем разложить любой плоский источник поля по тем же модам, а в качестве коэффициентов разложения получить условия на границе  $z=0$  для эволюционных коэффициентов  $h_m(z, t; \chi)$ ,  $e_n(z, t; \xi)$  и их производных. В результате, целочисленные индексы  $m$  и  $n$  будут отражать угловую зависимость источника, а зависимости от  $\chi$  и  $\xi$  – зависимость от  $\rho$ . Следующим этапом в решении данной задачи является решение уравнения Клейна-Гордона совместно с полученными начальными и граничными условиями.

Если источник поля несинфазный, то есть временная зависимость амплитуды стороннего поля в различных точках источника не одинаковая, то

такая задача сводится к вычислению интегральной свертки и решению задачи для синфазного источника, подобно тому, как это описано в подразделе 3.2. В случае синфазного источника пространственное распределение амплитуды поля плоского источника учитывается в виде не зависящего от времени множителя в граничном условии для уравнения Клейна-Гордона. При использовании принципа суперпозиции решение задачи со ступенчатой временной зависимостью амплитуды поля источника даст возможность рассчитывать излучаемое поле при произвольном пространственно-временном распределении.

Решение (4.1) удобно использовать, когда условие на границе  $z = 0$  имеет временную зависимость в виде функции Хевисайда. Использование известной формулы 21.8-26 из [101] для разложения единицы в ряд по функциям Бесселя

$$1 = J_0(z) + 2 \sum_{k=1}^{\infty} J_{2k}(z)$$

позволяет легко найти коэффициенты  $A_v^+, B_v^+, A_v^-, B_v^-$  для решения (4.1) при подстановке граничного условия

$$h_m^v(0, t; \chi) = R_m(\chi) H(t),$$

где  $R_m(\chi)$  – коэффициент, определяющий распределение поля источника в зависимости от угла  $\varphi$  и от продольной координаты  $\rho$ . В выражении (4.1) будем считать, что  $v = 0, 1, 2 \dots$ . Полагая, что источник расположен в плоскости  $z = 0$ , получим коэффициенты:

$$A_0^+ = R_m(\chi), \quad A_{2n+1}^+ = 0, \quad A_{2n}^+ = 2R_m(\chi), \quad B_n^+ = 0, \quad A_n^- = 0, \quad B_n^- = 0.$$

Таким образом, решение для ступенчатой функции возбуждения принимает вид

$$h_m(z, t; \chi) = R_m(\chi) \left\{ J_0 \left( \chi \sqrt{c^2 t^2 - z^2} \right) + 2 \sum_{n=1}^{\infty} \left( \frac{ct + z}{ct - z} \right)^n J_{2n} \left( \chi \sqrt{c^2 t^2 - z^2} \right) \right\}. \quad (4.2)$$

Далее проиллюстрируем данный подход на примере задачи излучения в свободное полупространство раскрыва коаксиального волновода с бесконечным фланцем, возбуждаемого ТЕМ-волной с произвольной зависимостью от времени. Будем пренебрегать искажениями распределения поля на раскрыве в сравнении с его распределением в поперечной плоскости внутри бесконечного волновода, то есть, будем использовать приближение Кирхгофа. Для этого необходимо сначала решить волноводную задачу и найти поле ТЕМ-волны со ступенчатой зависимостью от времени.

#### **4.3. Постановка и решение задачи распространения в коаксиальном волноводе ТЕМ-волны с произвольной зависимостью от времени**

Как известно, поперечная волна в пустом коаксиальном волноводе с идеально проводящими стенками в процессе распространения не подвергается дисперсии. Таким образом, возбужденная в произвольном сечении волновода ТЕМ-волна со ступенчатой зависимостью от времени достигнет раскрыва, сохранив прежнюю временную зависимость.

Решим волноводную задачу при помощи метода эволюционных уравнений. Поле ТЕМ-волны внутри коаксиального волновода, согласно [104, 105], имеет вид

$$\begin{aligned}\vec{E}(\rho, z, t) &= \mu_0 \nabla U(\rho) \frac{\partial}{\partial t} f; \quad \vec{H}(\rho, z, t) = [\nabla U \times \vec{z}] \frac{\partial}{\partial z} f; \\ H_z &= E_z \equiv 0,\end{aligned}$$

где  $U(\rho)$  – мембранная функция, определяющая распределение поля в поперечной плоскости,  $f(z, t)$  – эволюционный коэффициент. Заметим, что мембранная функция не зависит от угла  $\varphi$ . Она является решением уравнения Лапласа  $\Delta U = 0$  в плоскости поперечного сечения с граничными условиями

$$U|_{\rho=b} = 0; \quad U|_{\rho=a} = p,$$

где  $a$  – радиус внешнего проводника коаксиального волновода,  $b$  – радиус внутреннего проводника,  $p$  – константа, подлежащая нахождению из условия энергетической нормировки поля [104]

$$\frac{1}{\pi(a^2 - b^2)} \int_S dS |\nabla U|^2 = 1.$$

Отсюда легко получить общие выражения для поля ТЕМ-волны:

$$\vec{E} = -\vec{\rho}_0 \sqrt{\frac{a^2 - b^2}{2 \ln \frac{a}{b}}} \frac{1}{\rho} \mu_0 \frac{\partial}{\partial t} f, \quad \vec{H} = \vec{\varphi}_0 \sqrt{\frac{a^2 - b^2}{2 \ln \frac{a}{b}}} \frac{1}{\rho} \frac{\partial}{\partial z} f. \quad (4.3)$$

Эволюционный коэффициент является решением волнового уравнения

$$\left\{ \frac{1}{c^2} \frac{\partial^2}{\partial t^2} - \frac{\partial^2}{\partial z^2} \right\} f(z, t) = 0,$$

дополненного однородными начальными условиями по времени

$$f(z, -t_0) = 0, \quad \frac{\partial}{\partial t} f(z, -t_0) = 0$$

и начальными условиями по координате

$$f(z, t)|_{z=-z_0} = \varphi(ct) = I(ct), \quad \frac{\partial}{\partial z} f(z, t)|_{z=-z_0} = \psi(ct) = -\dot{I}(ct),$$

где  $I(ct)$  – произвольная временная зависимость ТЕМ-волны, возбужденной в момент времени  $t = -t_0$  в сечении  $z = -z_0 = -ct_0$ . Получаем задачу, решение которой найдем по формуле Даламбера

$$f(z, t) = \frac{1}{2} [\varphi(ct - z) + \varphi(ct + z)] + \frac{1}{2} \int_{ct-z}^{ct+z} d\theta \psi(\theta) = I(ct - z).$$

Таким образом, мы получили волну, распространяющуюся без искажений в сторону  $z > 0$ .

В подразделе 4.2 отмечалось, что использование принципа суперпозиции позволяет решать задачу для произвольной зависимости источника от времени, имея решение для временной зависимости источника в виде функции Хевисайда. Исходя из этого будем полагать, что

$$I(ct - z) = \begin{cases} 0, & ct - z < 0; \\ ct - z, & ct - z \geq 0, \end{cases}$$

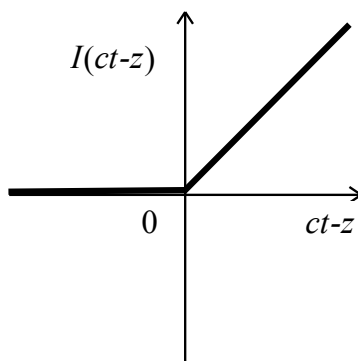


Рис. 4.1. Вид функции  $I(ct - z)$ .

(см. рис. 4.1), при этом, согласно (4.3), временная зависимость амплитуд поперечных компонент поля имеет вид ступенчатой функции. Будем считать, что распределение поля на раскрыве такое же, как и в поперечном сечении бесконечного волновода, представленное выражениями (4.3). Таким образом, зная пространственно-временное распределение поля источника, можно приступить к решению задачи излучения.

#### 4.4. Постановка задачи излучения

В плоскости  $z = 0$  расположен раскрыв коаксиального волновода с бесконечным идеальнопроводящим фланцем (рис. 4.2). Так как до момента времени  $t = 0$  в свободном пространстве электромагнитное поле отсутствовало, то имеем нулевые начальные условия для эволюционных коэффициентов. Чтобы получить граничные условия для эволюционных коэффициентов, необходимо потребовать выполнение равенства амплитуд в сечении  $z = 0$  соответствующих компонент поля падающей на раскрыв ТЕМ-волны и волны, излученной в свободное полупространство. Будем пренебрегать токами на поверхности фланца. С одной стороны, поля внутри коаксиального волновода заданы выражениями



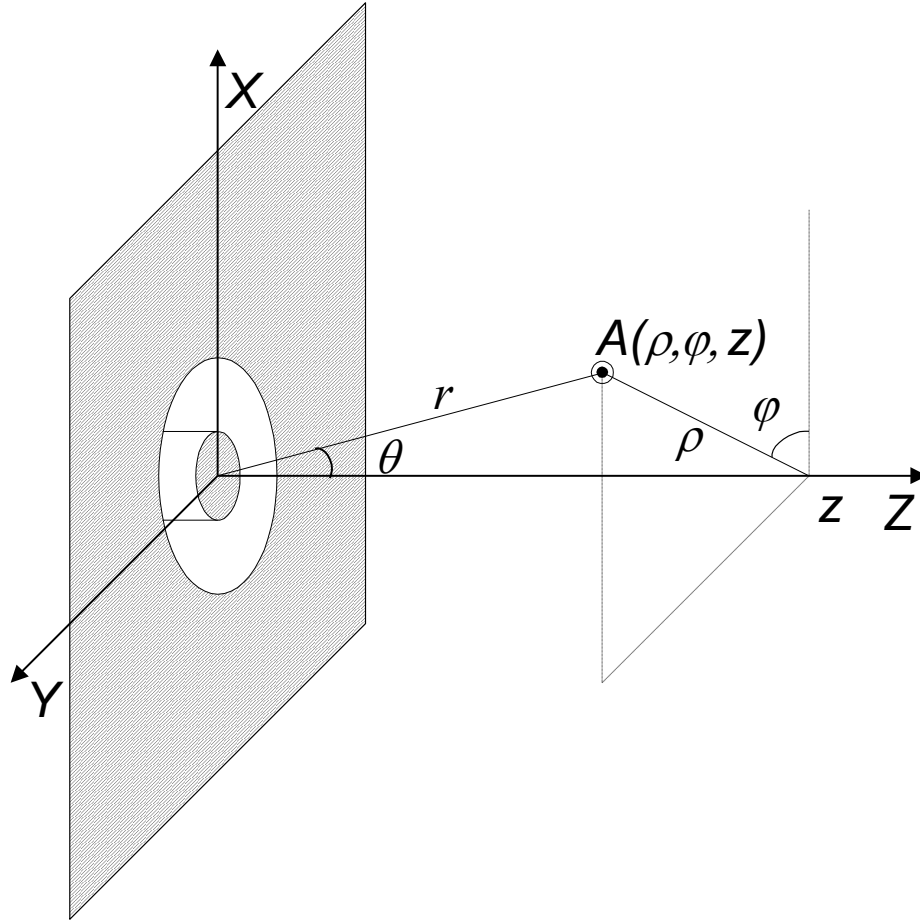


Рис. 4.2. Геометрия задачи.

$$\left. \begin{aligned} \vec{E} &= -\vec{\rho}_0 \sqrt{\frac{a^2 - b^2}{2 \ln \frac{a}{b}}} \frac{\mu_0}{\rho} \frac{\partial}{\partial t} I(ct - z); \\ \vec{H} &= \vec{\varphi}_0 \sqrt{\frac{a^2 - b^2}{2 \ln \frac{a}{b}}} \frac{1}{\rho} \frac{\partial}{\partial z} I(ct - z); \\ E_z &= H_z = 0. \end{aligned} \right\} (b < \rho < a) \quad (4.4)$$

С другой стороны, поля в свободном пространстве представляются формулами (2.34, 2.36). Приравняв соответствующие компоненты поля, получим соотношения, из которых найдем эволюционные коэффициенты  $h_m(z, t; \chi)$ ,  $e_n(z, t; \xi)$  и их производные при  $z = 0$ . Так как поле источника не зависит от угла  $\varphi$ , коэффициенты с индексами  $m, n \neq 0$  и их производные равны нулю.

Наличие же в выражениях (4.4) электрического поля, направленного только вдоль  $\vec{\rho}_0$ , свидетельствует об излучении Е-волны в свободное пространство, так как в этом случае  $h_0(0, t; \chi) \equiv 0$ . Далее для удобства мы опустим индекс в обозначении эволюционного коэффициента:  $e_0(z, t; \xi) \equiv e(z, t; \xi)$ . “Сшивание” полей при  $z = 0$  дает

$$\int_0^\infty d\xi \sqrt{\xi} J_1(\xi \rho) \frac{\partial}{\partial z} e \Big|_{z=0} = \sqrt{\frac{a^2 - b^2}{2 \ln \frac{a}{b}}} \frac{1}{\rho} \mu_0 \frac{\partial}{\partial t} I(ct - z) \Big|_{z=0}, \quad b < \rho < a; \quad (4.5)$$

$$-\int_0^\infty d\xi \sqrt{\xi} J_1(\xi \rho) \varepsilon_0 \frac{\partial}{\partial t} e \Big|_{z=0} = \sqrt{\frac{a^2 - b^2}{2 \ln \frac{a}{b}}} \frac{1}{\rho} \frac{\partial}{\partial z} I(ct - z) \Big|_{z=0}, \quad b < \rho < a.$$

Отсутствие продольной компоненты в волноводе дает первое граничное условие

$$e(0, t; \xi) = 0.$$

Остальные условия получим, если умножим правую и левую части выражений (4.5) на  $\sqrt{\xi} J_1(\xi \rho)$  и проинтегрируем их по  $\rho$  в пределах от 0 до  $\infty$ , считая, что токи на фланце отсутствуют, т.е.  $\frac{\partial}{\partial t} e \Big|_{z=0} = 0$  при  $\rho < b$  и  $\rho > a$ . В результате этого в правых частях появятся выражения, зависящие от  $\xi$  и отражающие амплитудное распределение на источнике. После использования в левых частях выражения для  $\delta$ -функции [101], условия для эволюционного коэффициента получаем в следующем виде

$$\left. \frac{\partial}{\partial z} e(z, t; \xi) \right|_{z=0} = \sqrt{\frac{a^2 - b^2}{2 \ln \frac{a}{b}}} \frac{\mu_0}{\sqrt{\xi}} \frac{\partial}{\partial t} I(ct - z) \Big|_{z=0} [J_0(\xi b) - J_0(\xi a)];$$

(4.6)

$$\left. \frac{\partial}{\partial t} e(z, t; \xi) \right|_{z=0} = \sqrt{\frac{a^2 - b^2}{2 \ln \frac{a}{b}}} \frac{1}{\varepsilon_0 \sqrt{\xi}} \frac{\partial}{\partial z} I(ct - z) \Big|_{z=0} [J_0(\xi b) - J_0(\xi a)].$$

Считаем, что в момент времени  $t < 0$  в полупространстве  $z \geq 0$  поле отсутствует, то есть

$$e(z, t; \xi) = 0, \quad \frac{\partial}{\partial t} e(z, t; \xi) = 0, \quad \frac{\partial}{\partial z} e(z, t; \xi) = 0 \quad \text{при } t < 0.$$

Необходимо учесть, что полученное решение должно удовлетворять условию равенства нулю амплитуды продольной компоненты поля на бесконечности  $e(\infty, t; \xi) = 0$  по аналогии с условием излучения. Так как задача рассматривается в приближении Кирхгофа, мы не можем одновременно удовлетворить всем условиям сопряжения полей. В частности, так как не учитывается наличие отраженной ТЕМ-волны и преобразование мод внутри волновода, решение будет удовлетворять второму равенству (4.6) и условию равенства нулю продольной компоненты поля при  $z = 0$  только в начальный момент времени.

Сформулируем задачу в следующем виде

$$\left\{ \frac{1}{c^2} \frac{\partial^2}{\partial t^2} - \frac{\partial^2}{\partial z^2} + \xi^2 \right\} e(z, t; \xi) = 0; \quad (4.7)$$

граничные условия:

$$e(z, t; \xi)|_{z=\infty} = 0; \quad \frac{\partial}{\partial z} e(z, t; \xi)|_{z=0} = \sqrt{\frac{a^2 - b^2}{2 \ln \frac{a}{b}}} \frac{\mu_0 [J_0(\xi b) - J_0(\xi a)]}{\sqrt{\xi}} \frac{\partial}{\partial t} I(ct - z)|_{z=0},$$

начальные условия:

$$e(z, t; \xi)|_{t=0} = 0, \quad \frac{\partial}{\partial t} e(z, t; \xi)|_{t=0} = 0.$$

Таким образом, дополняя уравнение Клейна-Гордона (4.7) граничными условиями по координате и начальными условиями по времени, мы завершили постановку задачи для нахождения эволюционных коэффициентов.

#### **4.5. Решение задачи излучения из открытого конца коаксиального волновода, возбужденного ТЕМ-волной со ступенчатой зависимостью от времени**

Будем решать задачу (4.7) относительно производной по продольной координате, для чего сделаем замену

$$B(z, t; \xi) = \frac{\partial}{\partial z} e(z, t; \xi).$$

Задача (4.7) относительно новой переменной  $B(z, t; \xi)$  принимает вид

$$\left\{ \frac{1}{c^2} \frac{\partial^2}{\partial t^2} - \frac{\partial^2}{\partial z^2} + \xi^2 \right\} B(z, t; \xi) = 0;$$

$$B(z, t; \xi)|_{z=0} = C(\xi)H(t),$$

где  $C(\xi) = \sqrt{\frac{a^2 - b^2}{2 \ln \frac{a}{b}}} \frac{c\mu_0 [J_0(\xi b) - J_0(\xi a)]}{\sqrt{\xi}}.$

После нахождения решения данной задачи потребуем выполнения остальных граничных и начальных условий задачи (4.7).

В подразделе 4.1 было получено решение этой задачи, которое, согласно (4.2), имеет вид

$$B(z, t; \xi) = C(\xi) \left\{ J_0 \left( \xi \sqrt{c^2 t^2 - z^2} \right) + 2 \sum_{n=1}^{\infty} \left( \frac{ct - z}{ct + z} \right)^n J_{2n} \left( \xi \sqrt{c^2 t^2 - z^2} \right) \right\}.$$

Выражение в фигурных скобках удобно переписать с помощью функции Ломмеля двух переменных

$$\frac{\partial}{\partial z} e(z, t; \xi) = C(\xi) [U_0(W, Z) - U_2(W, Z)],$$

где  $W = i\xi(ct - z)$ ,  $Z = \xi\sqrt{c^2 t^2 - z^2}$ .

Проинтегрировав по  $z$  решение для  $B(z, t; \xi)$ , получаем решение для  $e(z, t; \xi)$  в виде

$$e(z, t; \xi) = C(\xi) \frac{2i}{\xi} U_1(W, Z) + C_1(t; \xi),$$

где  $C_1(t; \xi)$  – функция, подлежащая нахождению путём подстановки решения в граничное условие  $e(z, t; \xi)|_{z=\infty} = 0$  задачи (4.7). Легко видеть, что  $C_1(t; \xi) \equiv 0$  и решение принимает следующий вид

$$e(z, t; \xi) = \frac{-2}{\xi} C(\xi) \sum_{m=0}^{\infty} \left( \frac{ct - z}{ct + z} \right)^{m+\frac{1}{2}} J_{2m+1} \left( \xi \sqrt{c^2 t^2 - z^2} \right), \quad (4.8)$$

$$\text{где } C(\xi) = \sqrt{\frac{a^2 - b^2}{2 \ln \frac{a}{b}}} \frac{c \mu_0 [J_0(\xi b) - J_0(\xi a)]}{\sqrt{\xi}}.$$

Для нахождения амплитуды магнитной компоненты поля в свободном пространстве необходимо вычислить производную по  $t$  от эволюционного коэффициента (4.8)

$$\frac{1}{c} \frac{\partial}{\partial t} e(z, t; \xi) = -C(\xi) J_0 \left( \xi \sqrt{c^2 t^2 - z^2} \right).$$

Подставляя полученный эволюционный коэффициент и его производные в (2.36) мы можем найти все компоненты поля в свободном пространстве.

При помощи формулы 2.12.42.2 [114]

$$\int_0^{\infty} dx J_0(ax) J_0(bx) J_1(cx) = \begin{cases} \begin{cases} 0 \\ 1 \end{cases} \frac{1}{c}, & \begin{cases} 0 < c < |a - b| \\ c > a + b \end{cases} \\ \frac{1}{\pi c} \arccos \frac{a^2 + b^2 - c^2}{2ab}, & |a - b| < c < a + b, \end{cases}$$

получаем точное выражение для амплитуды магнитного поля в свободном полупространстве

$$H_{\varphi}(\rho, \varphi, z, t) = \frac{-1}{\pi \rho} \sqrt{\frac{a^2 - b^2}{2 \ln \frac{a}{b}}} \times$$

$$\begin{aligned}
& \times \left[ \begin{aligned} & \left\{ \arccos \frac{c^2 t^2 - z^2 + b^2 - \rho^2}{2b\sqrt{c^2 t^2 - z^2}} \right\} - \\ & \left\{ \begin{aligned} & \left| \sqrt{c^2 t^2 - z^2} - b \right| < \rho < \sqrt{c^2 t^2 - z^2} + b \\ & \rho > \sqrt{c^2 t^2 - z^2} + b \\ & 0 < \rho < \left| \sqrt{c^2 t^2 - z^2} - b \right| \end{aligned} \right. \end{aligned} \right. \quad (4.9) \\
& - \left[ \begin{aligned} & \left\{ \arccos \frac{c^2 t^2 - z^2 + a^2 - \rho^2}{2a\sqrt{c^2 t^2 - z^2}} \right\} \\ & \left\{ \begin{aligned} & \left| \sqrt{c^2 t^2 - z^2} - a \right| < \rho < \sqrt{c^2 t^2 - z^2} + a \\ & \rho > \sqrt{c^2 t^2 - z^2} + a \\ & 0 < \rho < \left| \sqrt{c^2 t^2 - z^2} - a \right| \end{aligned} \right. \end{aligned} \right] .
\end{aligned}$$

Вычисление амплитуд продольной и поперечной электрических компонент поля усложняется наличием несобственных абсолютно сходящихся интегралов вида

$$I_1 = \int_0^\infty d\xi J_0(\xi r) J_0(\xi \rho) J_{2m+1}(\xi ct) \text{ и } I_2 = \int_0^\infty d\xi J_0(\xi r) J_1(\xi \rho) J_{2m}(\xi ct),$$

которые можно преобразовать при помощи замены двух первых функций Бесселя в  $I_1$  интегралом Пуассона

$$J_n(z) = \frac{\left(\frac{z}{2}\right)^2}{\Gamma\left(n + \frac{1}{2}\right)\Gamma\left(\frac{1}{2}\right)} \int_0^\pi \cos(z \cos \theta) \sin^{2n} \theta d\theta,$$

а в  $I_2$  – выражениями 21.8-16, 21.8-17 из [101]

$$J_0(x) = \frac{2}{\pi} \int_0^{\frac{\pi}{2}} \cos(x \sin \theta) d\theta; \quad J_1(x) = \frac{1}{\pi} \int_0^\pi \cos(\theta - x \sin \theta) d\theta.$$

Так как полученные тройные интегралы существуют, можно изменить порядок интегрирования и, используя формулу 2.12.15.2 [114],

$$I_v^{\{s\}}(b, c) = \int_0^\infty \left\{ \begin{matrix} \sin bx \\ \cos bx \end{matrix} \right\} J_v(cx) dx =$$

$$= \begin{cases} \left( c^2 - b^2 \right)^{-\frac{1}{2}} \left\{ \begin{matrix} \sin \left[ v \arcsin \left( \frac{b}{c} \right) \right] \\ \cos \left[ v \arcsin \left( \frac{b}{c} \right) \right] \end{matrix} \right\}, & [0 < b < c, \operatorname{Re} v > -1 - \delta]; \\ \frac{c^v}{\sqrt{b^2 - c^2}} \left( b + \sqrt{b^2 - c^2} \right)^{-v} \left\{ \begin{matrix} \cos \left( v \frac{\pi}{2} \right) \\ \sin \left( v \frac{\pi}{2} \right) \end{matrix} \right\}, & [0 < c < b, \operatorname{Re} v > -1 - \delta], \end{cases}$$

избавиться от интеграла с бесконечным верхним пределом, заменив его на двойной интеграл с конечными пределами. В итоге выражения для амплитуд поперечной  $E_\rho$  и продольной  $E_z$  электрических компонент принимают вид

$$E_\rho(\rho, \varphi, z, t) = -\frac{c\mu_0}{\pi\rho} \sqrt{\frac{a^2 - b^2}{2 \ln \frac{a}{b}}} \times$$

$$\times \left[ \begin{matrix} \left[ \arccos \frac{c^2 t^2 - z^2 + b^2 - \rho^2}{2b\sqrt{c^2 t^2 - z^2}} \right] \\ \pi \\ 0 \end{matrix} \right] - \begin{cases} \left| \sqrt{c^2 t^2 - z^2} - b \right| < \rho < \sqrt{c^2 t^2 - z^2} + b \\ \rho > \sqrt{c^2 t^2 - z^2} + b \\ 0 < \rho < \left| \sqrt{c^2 t^2 - z^2} - b \right| \end{cases}$$

$$- \left[ \begin{matrix} \left[ \arccos \frac{c^2 t^2 - z^2 + a^2 - \rho^2}{2a\sqrt{c^2 t^2 - z^2}} \right] \\ \pi \\ 0 \end{matrix} \right] \begin{cases} \left| \sqrt{c^2 t^2 - z^2} - a \right| < \rho < \sqrt{c^2 t^2 - z^2} + a \\ \rho > \sqrt{c^2 t^2 - z^2} + a \\ 0 < \rho < \left| \sqrt{c^2 t^2 - z^2} - a \right| \end{cases} \quad (4.10)$$



$$\begin{aligned}
& -\frac{2c\mu_0}{\pi^2} \sqrt{\frac{a^2 - b^2}{2 \ln \frac{a}{b}}} \sum_{n=1}^{\infty} \left( \frac{ct - z}{ct + z} \right)^n \times \\
& \times \int_0^{\pi} d\theta \int_0^{\frac{\pi}{2}} d\theta' \left\{ \cos \theta \left[ I_{2n}^c(\rho \sin \theta - b \sin \theta', \tau) + I_{2n}^c(\rho \sin \theta + b \sin \theta', \tau) - \right. \right. \\
& - I_{2n}^c(\rho \sin \theta - a \sin \theta', \tau) - I_{2n}^c(\rho \sin \theta + a \sin \theta', \tau) \left. \right] + \\
& + \sin \theta \left[ I_{2n}^s(\rho \sin \theta - b \sin \theta', \tau) + I_{2n}^s(\rho \sin \theta + b \sin \theta', \tau) - \right. \\
& - I_{2n}^s(\rho \sin \theta - a \sin \theta', \tau) - I_{2n}^s(\rho \sin \theta + a \sin \theta', \tau) \left. \right] \left. \right\},
\end{aligned}$$

где  $\tau = \sqrt{c^2 t^2 - z^2}$ ,

$$I_{2n}^{\left\{ \begin{smallmatrix} s \\ c \end{smallmatrix} \right\}}(d, \tau) = \begin{cases} \left( \tau^2 - d^2 \right)^{-\frac{1}{2}} \left\{ \begin{aligned} & \text{sign}(d) \sin \left[ 2n \arcsin \left( \frac{|d|}{\tau} \right) \right] \\ & \cos \left[ 2n \arcsin \left( \frac{|d|}{\tau} \right) \right] \end{aligned} \right\}, & [0 < |d| < \tau] \\ \text{sign}(d) \frac{\tau^{2n}}{\sqrt{d^2 - \tau^2}} \left( |d| + \sqrt{d^2 - \tau^2} \right)^{-2n} \begin{cases} (-1)^n \\ 0 \end{cases}, & [0 < \tau < |d|] \end{cases}$$

$$\text{sign}(d) = \begin{cases} 1, & d > 0 \\ 0, & d = 0, \\ -1, & d < 0 \end{cases}$$

$$\begin{aligned}
E_z(\rho, \varphi, z, t) = & -\frac{2c\mu_0}{\pi(ct - z)} \sqrt{\frac{a^2 - b^2}{2 \ln \frac{a}{b}}} \times \\
& \times \left[ \begin{aligned} & \left[ \arccos \frac{-c^2 t^2 + z^2 + b^2 + \rho^2}{2b\rho} \right] \\ & \left\{ \begin{aligned} & \pi \\ & 0 \end{aligned} \right\} \end{aligned} \right] - \begin{cases} |b - \rho| < \sqrt{c^2 t^2 - z^2} < \rho + b \\ \sqrt{c^2 t^2 - z^2} > \rho + b \\ 0 < \sqrt{c^2 t^2 - z^2} < |\rho - b| \end{cases} \quad (4.11)
\end{aligned}$$